

Sbor. geol. věd	Geologie 40	Str. 35–61	12 obr.	7 tab.	4 přil.	Praha 1985 ISSN 0581-9172
--------------------	----------------	---------------	------------	-----------	------------	------------------------------

Gabroidy v mirovickém metamorfovaném ostrově

Gabbroids in the Mirovice metamorphic islet

Vlasta Ledvinková¹

Předloženo 3. ledna 1983

— Ledvinková V. (1985): Gabroidy v mirovickém metamorfovaném ostrově. — Sbor. geol. věd, Geol., 40, 35–61. Praha.

Význam: Hlubinné bazické vyvřelinové vývřeliny v širším okolí Mirotic jsou součástí středočeského plutonu a vystupují uvnitř granitoidů sázavského typu. Mineralogicky jsou charakteristické relativně vysokými podíly draselného živce a biotitu, chemicky vysokými podíly K₂O, které i při relativně vysoké bazicitě hornin je v převaze nad Na₂O, vysokým podílem MgO a P₂O₅. Těmito znaky se bliží horninám lamproitidního charakteru. Podle pozice v klasifikačním systému vyvřelých hornin je hlavně o melanizonit, melanomonzabro a gabro.

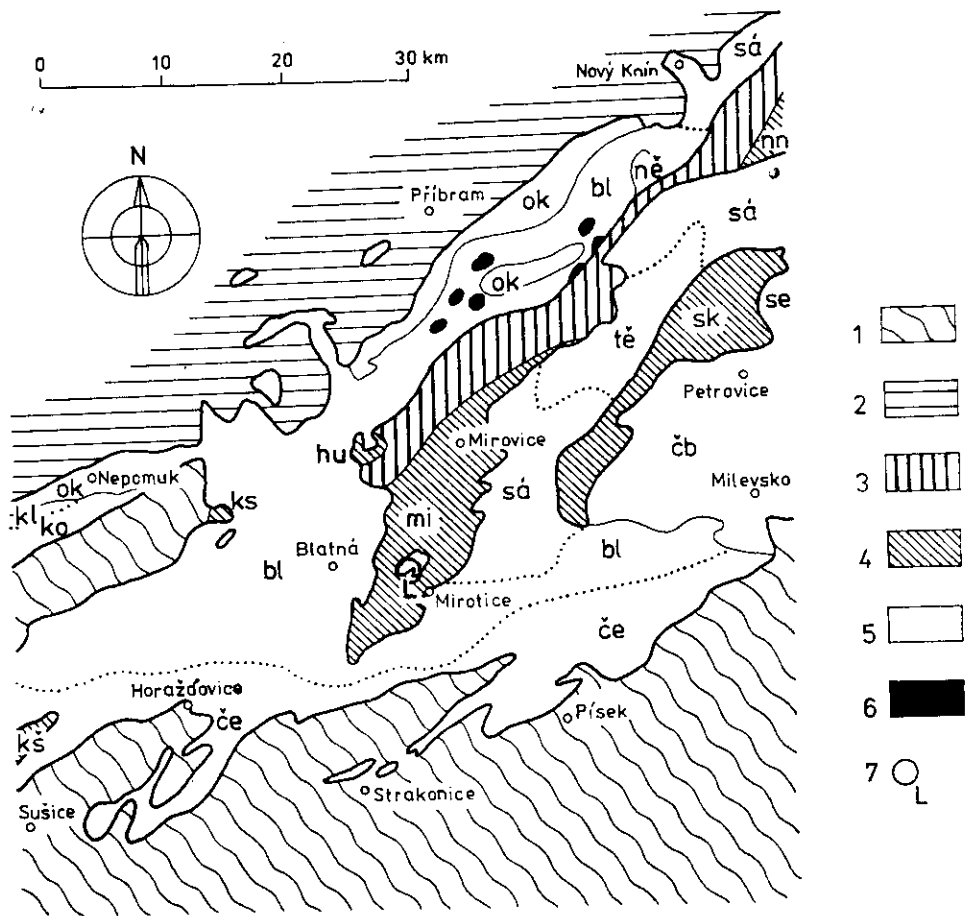
¹ Ústřední ústav geologický, Malostranské nám. 19, 118 21 Praha 1

Úvod

V rámci systematického výzkumu prováděného Ústředním ústavem geologickým v oblasti středočeského plutonu jsem se zabývala dosud málo prozkoumanými výskyty hlubinných bazických vyvřelin v jižní části mirovického ostrova. Typickým znakem této části ostrova jsou časté proniky granitoidů sázavského typu s hojnými uzavřeninami, krami a tělesy dioritů a gabro (Žežulková et al. 1978). Tyto horniny se vyskytují zejména z. od Mirotic v okolí Lučovic (obr. 1).

Největší gabroidní těleso o rozměrech 350×150 m, protažené shodně s foliací mirotických ortorul, leží sv. od Lučovic a je odkryto lomem na okraji lesa u cesty jdoucí na Z od samoty Brejle. Částečně zahloubený lom o stěně dlouhé 25 m a vysoké 10 m je v současné době mimo provoz. Poslední těžbu zde provádělo družstvo Jihokámen. Materiál se používal jako dekorativní kámen v kamennických dílnách v Přilepově; malá zásoba tohoto materiálu ještě v dílnách zůstala. Na několika dalších místech jsou stopy po těžebních pracích, zejména v podobě drobných přiležitostních záloh.

Bazickými horninami ve středočeském plutonu se zabývala řada autorů. Steinacher (1969) odhadl plochu těchto hornin na 20 km². Souhrnný přehled poznatků o těchto horninách lze nalézt v práci Knottka (1977). Jediná



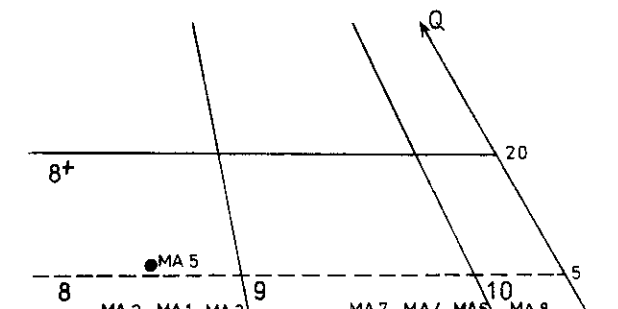
1. Poloha studovaného území v širším geologickém rámci
 1 — moldanubikum; 2 — barrandienské proterozoikum a paleozoikum; 3 — jilovské pásmo; 4 — metamorfované ostrovy; nn — netvořicko-neveklovský, sk — sedlčansko-krásnohorský, mi — mirovický, hu — hudčický, ks — kasejovický, kš — kašovický; 5 — granitoidy středočeského plutonu: ok — okrajový, ně — něčinský, sá — sázavský a kozárovický, tě — těchnický, se — sedlčanský, čb — typ Čertova břemene, bl — blatenský, če — červenský, ko — kozlovičský, kl — klatovský; 6 — gabroidy. Podle O. Kodyma jun. in J. Svoboda et al. (1966); 7 — studované území

stručná poznámka o tělese u Lučkovic, která je předmětem předložené práce. je ve studii Urbana (1933).

Petrografické typy

Horniny lučkovické oblasti se vyznačují velkou pestrostí, která se projevuje širokou zrnitostní škálou od drobnozrných až po velmi hrubě zrnité. Modální složení hornin je rovněž variabilní. Z výsledků modálních analýz a podle klasifi-

fikace A. Streckeisena (1976) vyplývá, že složení kolísá od pyroxen-biotit-amfibolického melamonzonitu přes biotit-amfibolický melamonzonit s pyroxenem, biotit-pyroxen-amfibolické melamonzogabro až po biotit-amfibolické gabro (obr. 2). Všechny studované horniny lučkovické oblasti mají všeobecnou texturu. Struktura horniny je hypautomorfně zrnitá, často s porfyrickým vývojem amfibolu. Podle variací struktury a zrnitosti lze rozlišit následujících pět typů, lišících se také variabilitou modálního složení.



2. Postavení hornin lučkovické oblasti podle modálního složení v klasifikaci A. Streckeisena (1976). Výřez z klasifikačního diagramu

Pole: 8 — monzonit; 8+ — kvaremonzonit; 9 — monzdiorit, monzogabro; 10 — gabro, diorit, anortosit

Seznam analyzovaných vzorků:

MA — modální analýza, AMAM — chemická analýza amfibolu na elektronové mikrosondě, AMBI — chemická analýza biotitu na elektronové mikrosondě, AMPY — chemická analýza pyroxenu na elektronové mikrosondě, AMPL — chemická analýza plagioklasu na elektronové mikrosondě, CHA — chemické analýzy horniny.

Velmi hrubě porfyrický biotit-amfibolický melamonzonit s pyroxenem. 300 m jz. od lučkovického lomu, 750 m vjv. od obce Lučkovice (MA-1; AMAM-1, 2, 3, 4; AMBI-7; AMPY-1; AMPL-1; CHA-1).

Hrubě porfyrický pyroxen-biotit-amfibolický melamonzonit. 300 m jz. od lučkovického lomu, 750 m vjv. od obce Lučkovice. (MA-2; AMAM-5, 6; AMBI-6; AMPY-2, 3, 4; AMPL-2; CHA-2).

Středně zrnité pyroxen-biotit-amfibolické melamonzogabro. Lučkovický lom, 900 m v. od obce Lučkovice (MA-3; AMAM-7, 8; AMBI-4; AMPY-5; AMPL-4; CHA-3).

Středně zrnité biotit-pyroxen-amfibolické melamonzogabro. Lučkovický lom. (MA-4; AMBI-5; AMPY-6; CHA-4).

Středně zrnitý biotit-amfibolický melakvaremonzonit s pyroxenem. 550 m jv. od lučkovického lomu. (MA-5; CHA-5).

Drobnozrnné biotit-amfibol-pyroxenické melamonzogabro. Lučkovický lom. (MA-6; AMAM-9, 10; AMBI-3; AMPY-8; AMPL-3; CHA-6).

Drobnozrnné biotit-amfibolické melamonzogabro s pyroxenem. Lučkovický lom. (MA-7; AMBI-2; AMPY-7; CHA-7).

Biotit-amfibolické gabro s jehlicovitým vývojem amfibolitu. Lučkovický lom. (MA-8; AMAM-11, 12; AMBI-1; AMPL-5; CHA-8).

Tabuľka 1

Modální složení hornin ze studované oblasti

	MA-1	MA-2	MA-3	MA-4	MA-5	MA-6	MA-7	MA-8
křemen	—	—	—	—	5,3	—	—	—
K-živec	4,6	6,8	10,8	4,5	21,6	4,0	4,3	2,9
plagioklas	6,4	7,5	14,3	26,1	30,1	23,5	14,5	39,8
amfibol	65,3	55,9	32,2	47,1	30,7	22,8	49,0	39,5
biotit	16,0	16,2	19,8	8,7	7,1	13,2	23,1	11,4
pyroxen	4,1	9,9	17,1	10,2	1,7	30,8	4,0	—
apatit	2,1	1,9	2,1	2,0	1,5	2,5	3,0	1,4
ostat. akces.	0,7	0,9	2,3	1,2	1,6	2,4	1,7	0,8
sek. minerály	0,8	0,9	1,4	0,2	0,4	0,8	0,4	4,2
Σ	100,0	100,0	100,0	100,0	100,0	100,0	100,0	100,0

a) **Velmi hrubě porfyrický typ.** — Hornina se vyznačuje již makroskopicky velmi nápadnými až 30 mm velkými, krátce sloupcovitými krystaly amfibolu. Ve výbruse má amfibol různé odstíny zelené barvy. Uzavírá hojně krystalky apatitu, bazický plagioklas (až An₈₅), ojediněle titanit a opakní minerály. Vrostlice amfibolu bývají od středu zrna silně biotitizovány. Monoklinický pyroxen je zachován pouze jako relikt v jádrech některých vrostlic amfibolu. Základní hmota je tvořena plagioklasem bazicity An_{45–80}, draselným živecem, zeleným amfibolem se sklonem k automorfnímu omezení proti draselnému živci, v menší míře je přítomen biotit. Modálně tento typ odpovídá biotit-amfibolickému melamonzonitu s pyroxenem (modální analýza MA-1, příl. III-1).

b) **Hrubě porfyrický typ.** — Liší se od typu „a“ menší velikostí vrostlic amfibolu (5–10 mm) a větším obsahem monoklinického pyroxenu, který tvoří relikty ve vrostlicích amfibolu. V drobnozrnné základní hmotě tvoří pyroxen automorfně až hypautomorfně omezená zrnka. Modálně tento typ odpovídá pyroxen-biotit-amfibolickému melamonzonitu (MA-2, příl. II-1).

c) **Stojnoměrně středně zrnitý typ.** — Tento typ, odkrytý lučkovickým lomem, je nejrozšířenější varietou gabroidních hornin ve studované oblasti. V tomto masivním černošedém typu lze makroskopicky rozeznat zrna černého amfibolu, živec a malé množství biotitu. Všechny součástky jsou zhruba velikostně vyrovnané. V jádrech některých amfibolů jsou dobře patrný reliktý klinopyroxenu. Též samostatné krystalky pyroxenu jsou zatlačovány amfibolem. Hnědý biotit tvoří nepravidelně omezené lupinky. Světlé minerály jsou zastoupeny plagioklasem An_{40–70} a xenomorfním draselným živcem. Z akcesorií je přítomen apatit, titanit, zirkon a ortit. Sekundární je malé množství prehnitu,

epidotu a ojedinělého pumpellyitu(?). Modálně odpovídá hornina pyroxen-biotit-amfibolickému melamonzogabru (MA-3, MA-4, příl. I-1).

Od popsaného typu se odlišuje minerálním složením stejnoměrně středně zrnitá hornina, tvořící světlejší partie ve středně zrnitém melamonzogabru v lučkovickém lomu a drobnější těleska v. od tohoto lomu. Obsahuje nevelké množství křemene, který spolu s draselným živcem vyplňuje prostory mezi ostatními minerály a má méně pyroxenu. Ostatní minerály mají stejný charakter jako v melamonzogabru. Hornina podle modální analýzy (MA-5) odpovídá biotiticko-amfibolickému melakvarcmonzonitu.

d) Stejnomořně drobně zrnitý typ. — Masívní hornina je tmavošedé barvy. V hornině je makroskopicky patrný černý amfibol, světle šedý živec, biotit v podružném množství. Všechny součástky jsou zhruba velikostně vyrovnané jako u předchozího typu. Nejhojnější mafit — v mikroskopu zelený amfibol — je hypautomorfní, poikilitický. Uzavírá v sobě hlavně apatit, živec, vzácněji plagioklas (An_{90}), zirkon. Dalším mafitem je světle zelený pyroxen, který se vyskytuje v podobě reliktů v amfibolu, nebo tvoří automorfní krystalky. Biotit vytváří xenomorfni tmavě hnědé šupinky. Světlé minerály jsou z největší části reprezentovány plagioklasem An_{40-80} . Draselný živec je xenomorfní a vyplňuje mezery mezi ostatními minerály. Z akcesorií je přítomen titanit, apatit, rudní minerál, zirkon. Sekundární je epidot, prehnit, vzácně se vyskytuje pumpellyit(?). Modálně tento typ odpovídá biotit-amfibol-pyroxenickému melamonzogabru (MA-6, příl. I-1).

Od tohoto typu se liší přibližně dvojnásobným množstvím biotitu a podružným množstvím pyroxenu drobnozrnny typ, v malé míře zastoupený v lučkovickém lomu. Modálně odpovídá biotit-amfibolickému melamonzogabru s pyroxenem (MA-7).

e) Typ s jehlicovitým vývojem amfibolu. — Je to tmavošedá hornina, která je charakteristická dlouze prizmatickým až jehlicovitým vývojem černého amfibolu, dosahujícího délky až 10 mm při šířce 1 mm. V mikroskopu lze pozorovat hypautomorfní vývoj zeleného amfibolu. Amfibol poikiliticky uzavírá sloupečkovitý apatit, ojediněle biotit, bazický plagioklas An_{85} , rudní zrnska, zirkon. Amfibol bývá zdvojčatělý. Biotit tvoří nepravidelné šupinky, vyskytuje se v podřadném množství. Plagioklas An_{40-70} je automorfní. Xenomorfní draselný živec není tak hojný jako v ostatních typech. Modálně tento typ odpovídá biotit-amfibolickému gabru (MA-8, příl. II-2).

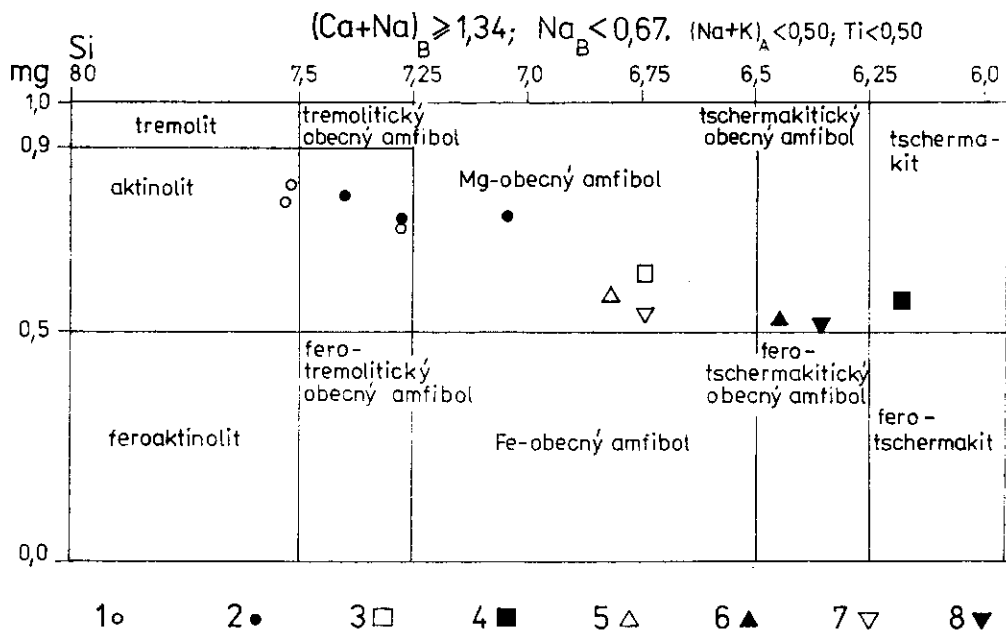
Horninotvorné minerály

Při výzkumu horninotvorných minerálů bylo vedle běžných optických vlastností ve výbruse sledováno hlavně jejich chemické složení pomocí elektronové mikrosandy. Analýzy byly prováděny na automatizovaném mikroanalyzátoru

ARL-SEMQ v Ústředním ústavu geologickém v Praze, s použitím programů modifikovaných Z. Kotrbou a R. Rybkou. Jako standardy byly použity přírodní minerály blízkého chemického složení. Údaje byly korigovány na chod přístroje a mrvou dobu detektoru. Pomoc při analýzách poskytli: P. Jakeš, L. Jilemnická, Z. Kotrba a R. Rybka. Analýzy byly provedeny za standardních operačních podmínek.

Amfibol

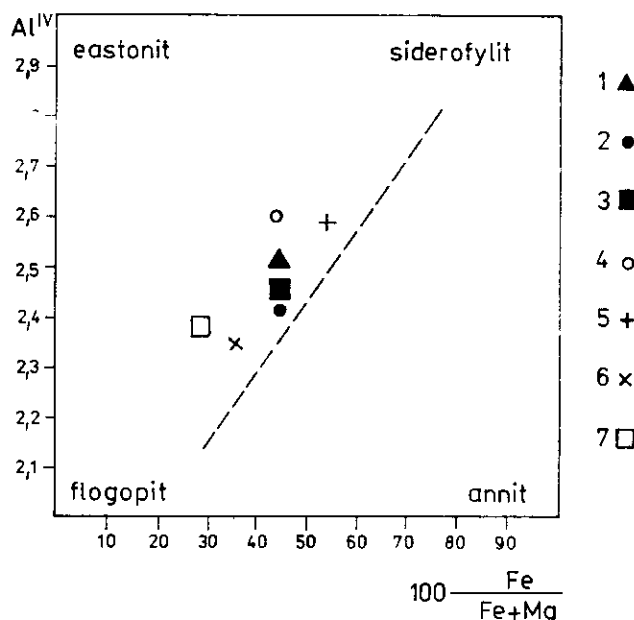
Amfiboly jsou nejhojněji zastoupenými minerály ve studovaných horninách. Jejich množství kolísá od 30 do 65 %. Tvoří jednak vyrostlice, jednak jsou přítomny v základní hmotě. Vyrostlice jsou reprezentovány krátké sloupcovitými nebo izometrickými automorfně a hypautomorfně omezenými jedinci (příl. IV-1). Ve středně a drobně zrnitém typu jsou amfiboly omezeny většinou hypautomorfně až xenomorfně. Téměř dokonalou automorfii se vyznačují zrna obklopená K-živcem. V hrubě porfyrických typech bývají vyrostlice od středu biotitizovány. Některá zrna mají zachovávána pyroxenová jádra. Studované



3. Klasifikační diagram Ca-amfibolů (podle B. E. Leaka 1978)

1 — okraj, 2 — jádro amfibolu velmi hrubé porfyrického biotit-amfibolického melamonzonitu s pyroxenem; 3 — okraj, 4 — jádro amfibolu z hrubé porfyrického pyroxen-biotit-amfibolického melamonzogabra středně zrnitého; 5 — okraj, 6 — jádro amfibolu z drobnozrnitého biotit-pyroxen-amfibolického melamonzogabra; 7 — okraj, 8 — jádro z biotit-amfibolického gabra s jehlicovitým vývojem amfibolu

amfiboly se vyznačují výrazným pleochroismem. Pro Z je tmavozelená barva, pro Y olivově zelená a pro X je světle zelená. Hodnoty $-2V$ se pohybují v rozmezí $66\text{--}78^\circ$. Výsledky chemických analýz z elektronové mikrosondy jsou uvedeny v tabulce 2. Veškeré železo je uvedeno jako FeO. Pro zařazení



4. Vztah mezi hlavními oktaedrickými (Mg, Fe) a tetraedrickými (Si, Al) komponentami v biotitech hornin lučkovické oblasti
 1 — biotit z biotit-amfibolického gabra; 2 — biotit z drobnozrnného pyroxen-biotit-amfibolického melamonzogabre; 3 — biotit z drobnozrnného biotit-amfibol-pyroxenického melamonzogabre; 4 — biotit ze středně zrnitého pyroxen-biotit-amfibolického melamonzogabra; 5 — biotit ze středně zrnitého biotit-pyroxen-amfibolického melamonzogabra; 6 — biotit z hrubě porfyrického pyroxen-biotit-amfibolického melamonzonitu; 7 — biotit z velmi hrubě porfyrického biotit-amfibolického melamonzonitu s pyroxenem

amfibolů byl použit klasifikační diagram Leaka (1978) (obr. 3). Podle této klasifikace patří studované amfiboly do skupiny vápenatých amfibolů $[(Ca + Na_B) \geq 1.34; Na_B < 0.67]$. Amfiboly hrubě a velmi hrubě porfyrických typů spadají do pole Mg-obecného amfibolu, aktinolitického obecného amfibolu a aktinolitu. Vyznačují se vysokým poměrovým číslem hořečnatosti mg $[Mg/(Mg + Fe^{tot})]$ od 0,73 do 0,82, nízkou železnatostí, nízkým obsahem oktaedrického hliníku, nízkými obsahy Ti a alkalií. Amfiboly středně zrnitého melamonzogabre, drobnozrnného melamonzogabra a amfiboly biotit-amfibolického dioritu s jehličovitým vývojem amfibolu spadají do pole obecného amfibolu, tschermakitického obecného amfibolu a tschermakitu. Tyto amfiboly se od amfibolů z hrubě porfyrických monzonitů liší poklesem hořečnatosti, vyšší železnatostí, vyšším obsahem oktaedrického hliníku a zároveň i vyššími obsahy titanu a alkalií.

T a b u l k a 2
Složení amfibolů z lučkovické oblasti

	AMAM-1	AMAM-2	AMAM-3	AMAM-4	AMAM-5	AMAM-6
SiO ₂	48,97	51,24	50,67	53,50	52,56	53,20
TiO ₂	0,41	0,35	0,62	0,56	0,68	0,14
Al ₂ O ₃	7,59	6,15	6,33	4,66	4,15	3,33
FeO	10,70	10,03	10,15	9,45	8,75	8,07
MnO	0,45	0,47	0,21	0,20	0,15	0,14
MgO	16,59	17,38	16,80	17,73	19,33	19,90
CaO	11,83	11,61	10,68	10,94	12,03	12,47
Na ₂ O	0,92	0,80	1,14	0,75	0,56	0,17
K ₂ O	0,74	0,55	0,51	0,39	0,33	0,36
Σ	97,90	98,28	97,10	98,16	98,53	97,79

Krystalochémické vzorce amfibolu na základě 23 O

	AMAM-1	AMAM-2	AMAM-3	AMAM-4	AMAM-5	AMAM-6
T Si	7,05	7,28	7,28	7,55	7,40	7,51
Al ^{IV}	0,95	0,72	0,72	0,45	0,60	0,49
C Al ^{VI}	0,54	0,31	0,35	0,32	0,09	0,06
Ti	0,04	0,04	0,08	0,08	0,07	0,01
Mg	3,56	3,68	3,60	3,78	4,05	4,19
Fe	0,86	0,97	0,97	0,82	0,79	0,74
B Fe	0,43	0,22	0,26	0,29	0,22	0,21
Mn	0,02	0,02	0,04	0,04	0,02	0,02
Ca	1,82	1,77	1,65	1,65	1,81	1,89
Na	—	—	0,05	0,01	—	—
A Na	0,26	0,22	0,16	0,18	0,15	0,10
K	0,14	0,10	0,08	0,08	0,05	0,03
Mg	0,75	0,73	0,75	0,77	0,80	0,82

B i o t i t

Biotit je přítomen ve všech typech studovaných hornin lučkovické oblasti. Jeho množství je značně proměnlivé. Velmi hojný je v porfyrických typech, kde často tvoří drobné šupinky ve vnitřních partiích vyrostlic amfibolu. Vzácněji tvoří samostatné hypautomorfní lupínky. Biotit se vyznačuje výrazným pleochroismem; podle X světle žlutá, podle YZ tmavohnědá, někdy okrově hnědá. V některých lupincích biotitu je možno pozorovat bezbarvé čočkovité útvary až žilky prehnitu na plochách bazální štěpnosti, místa také žlutý epidot. Vzácně je biotit spjatý s pumpellyitem(?)

Tabuľka 2

AMAM-7	AMAM-8	AMAM-9	AMAM-10	AMAM-11	AMAM-12
41,22	45,70	43,30	46,32	41,57	44,65
1,44	1,02	1,69	1,22	1,93	1,28
14,47	8,59	11,89	9,40	11,65	9,40
15,57	15,18	17,12	15,92	17,45	17,26
0,30	0,40	0,38	0,40	0,28	0,36
11,55	14,46	10,74	12,52	10,25	11,29
9,93	10,81	10,60	10,59	10,84	10,53
1,18	1,28	1,21	0,98	1,31	1,07
1,25	0,93	1,48	1,11	1,45	1,14
96,90	98,07	98,43	98,51	96,73	96,97

AMAM-7	AMAM-8	AMAM-9	AMAM-10	AMAM-11	AMAM-12
6,49	6,75	6,45	6,81	6,35	6,74
1,81	1,25	1,55	1,19	1,65	1,26
0,75	0,25	0,54	0,44	0,45	0,41
0,16	0,11	0,19	0,13	0,22	0,14
2,58	3,12	2,39	2,74	2,33	2,54
1,51	1,52	1,88	1,69	2,00	1,91
0,44	0,36	0,26	0,27	0,23	0,27
0,03	0,05	0,05	0,05	0,04	0,05
1,60	1,71	1,77	1,67	1,78	1,70
—	—	—	0,01	—	—
0,34	0,37	0,37	0,22	0,39	0,31
0,24	0,17	0,29	0,22	0,28	0,22
0,57	0,62	0,52	0,58	0,51	0,54

Pro klasifikační zařazení biotitu bylo použito čtyřsložkového diagramu rozpočteného na eastonit, flogopit, siderofylit a annit (obr. 4). Projekční body biotitu se soustředují do pásu zhruba mezi flogopitem a siderofylitem, mírně posunutého k vrcholu eastonitu od trendové linie běžných magmatických hornin. Ve všech typech převládá Mg nad Fe.

Analýzy na mikrosonde, které stanovují sumární Fe, neumožňují použít ternárního klasifikačního diagramu podle Fosterové (1960); jestliže však zanedbáme mocenství Fe a zaneseme ho do uvedeného diagramu v sumární podobě jako Fe^{2+} , dojde tím pochopitelně k určitému zkreslení posunu bodů směrem ke spojnici Mg—($Fe^{2+} + Mn$). Protože však analogicky podle výsledků

T a b u l k a 3

Složení biotitů z hornin lučkovické oblasti

	AMBI-1	AMBI-2	AMBI-3	AMBI-4	AMBI-5	AMBI-6	AMBI-7
SiO ₂	36,18	37,36	37,63	35,42	36,43	38,30	38,85
TiO ₂	2,80	2,51	3,32	3,10	1,99	3,72	2,48
Al ₂ O ₃	14,83	15,14	15,93	15,57	15,69	14,13	14,91
FeO	19,15	19,31	17,89	17,81	16,39	14,91	13,00
MnO	0,27	0,22	0,30	0,24	0,22	0,16	0,15
MgO	13,81	13,49	13,31	13,60	17,07	15,71	18,17
Na ₂ O	0,08	0,14	0,30	0,12	0,06	0,11	0,12
K ₂ O	8,32	8,48	9,13	9,68	7,95	9,13	9,36
Σ	95,43	96,65	97,67	95,53	95,79	96,17	97,08

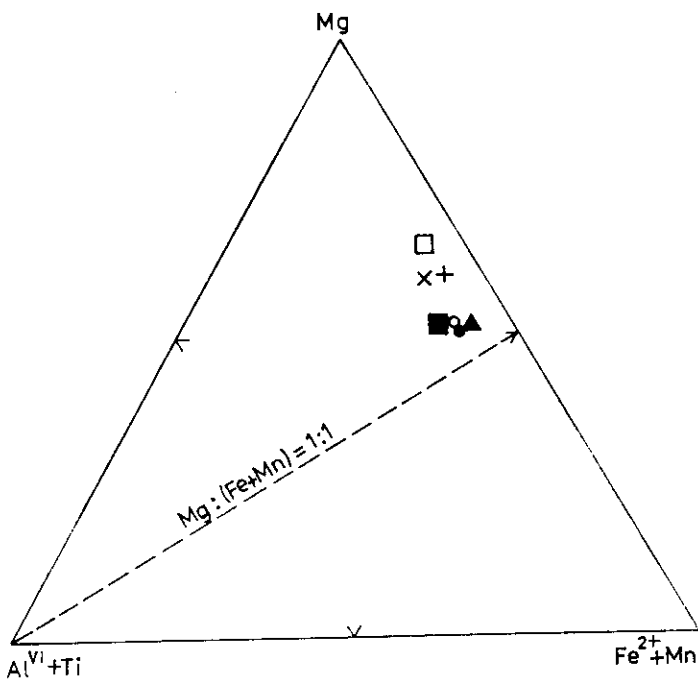
Krystalochimické vzorce biotitu na základě 22 O

	AMBI-1	AMBI-2	AMBI-3	AMBI-4	AMBI-5	AMBI-6	AMBI-7
Si	5,49	5,58	5,54	5,39	5,41	5,65	5,62
Al ^{IV}	2,51	2,42	2,46	2,61	2,59	2,35	2,38
Al ^{VI}	0,14	0,25	0,31	0,18	0,16	0,41	0,17
Ti	0,32	0,28	0,37	0,35	0,22	0,42	0,27
Fe	2,43	2,41	2,20	2,27	2,04	1,84	1,57
Mn	0,04	0,03	0,04	0,03	0,03	0,02	0,02
Mg	3,42	3,00	2,92	3,07	3,78	3,45	3,92
Na	0,02	0,04	0,05	0,04	0,02	0,03	0,04
K	1,61	1,62	1,75	1,87	1,51	1,78	1,73
Y	6,05	5,97	5,84	5,90	6,23	5,84	5,95
XX	1,82	1,62	1,80	1,91	1,53	1,81	1,77

chemických analýz biotitů gaber ze středočeského plutonu, provedených mokrou cestou, jak je uvádí Fiala a Vejnar (1976), vyplývá, že podíl Fe³⁺ v těchto biotitech je relativně nízký, můžeme s vědomím výše uvedené nepřesnosti diagram Fosterové (1960) použít. Z obrázku je zřejmé, že všechny analyzované biotity spadají nad linii Fe:Mg = 1 do pole hořečnatých biotitů (obr. 5).

Monoklinický pyroxen

Pro studium monoklinického pyroxenu bylo vybráno 8 vzorků z různých strukturních typů monzonitových a gabbroidních hornin z lučkovické oblasti. Množství monoklinického pyroxenu v jednotlivých typech je značně proměn-



5. Ternární diagram oktaedrických kationtů v biotitech. Upraveno podle M. Fosterové (1960)
(Vysvětlivky k symbolům jsou stejné jako u obr. 4)

livé, zřejmě v závislosti na různém stupni nahrazení amfibolem (příl. IV-2). Nejhojněji je zastoupen v hrubě porfyrickém pyroxen-biotit-amfibolickém melamonzonitu. Tvoří krátce sloupcovité, vzácněji dlouze sloupcovité krystaly nebo izometricky omezená zrna, s různým stupněm automorfie, která závisí na obklopujícím prostředí. Automorfně omezená zrna bývají obklopená draselným živcem. Pyroxen je skoro bezbarvý nebo nazelenalý, téměř nepleochroický. Pro zařazení analyzovaných pyroxenů bylo použito klasifikačního diagramu Poldervarta a Hesse in Deer - Howie - Zussman (1974). V tomto klasifikačním diagramu spadají projekční body pyroxenů do pole augitu, salitu, endiopsidu, výjimečně až do pole diopsidu. Zákonitosti tohoto rozptylu se na jednotlivých petrografických odrůdách výrazně neprojevují (obr. 6).

Plagioklas

Množství plagioklasu ve studovaných horninách kolísá od 6,5 do 40 %. Plagioklas tvoří ve výbruse automorfne nebo hypautomorfne omezená zrna. Je jemně lamelovaný, někdy zonální. Bazicita plagioklasu byla měřena na Fjodorovově univerzálním stolku metodou Becke-Beckera. Několik vybraných vzorků

T a b u l k a 4

Složení pyroxenů z hornin lučkovické oblasti

	AMPY-1	AMPY-2	AMPY-3	AMPY-4	AMPY-5	AMPY-6	AMPY-7	AMPY-8
SiO ₂	54,73	53,74	55,59	54,80	52,59	54,12	53,73	54,31
TiO ₂	0,13	0,04	0,04	0,04	0,01	0,16	0,15	0,29
Al ₂ O ₃	2,14	2,53	0,71	1,58	0,91	1,85	1,58	1,27
FeO	6,51	5,16	6,15	5,41	6,98	9,09	10,71	5,80
MnO	0,24	0,20	0,26	0,32	0,34	0,51	0,58	0,29
MgO	16,12	16,80	14,98	16,03	15,78	15,25	14,33	15,82
CaO	20,95	21,27	21,69	21,56	24,38	19,46	18,87	21,99
Na ₂ O	0,34	0,19	0,33	0,19	0,30	0,48	0,38	0,29
K ₂ O	0,07	0,01	0,02	0,06	0,02	—	0,03	—
Σ	101,23	99,94	99,76	99,99	101,38	100,93	100,38	99,96

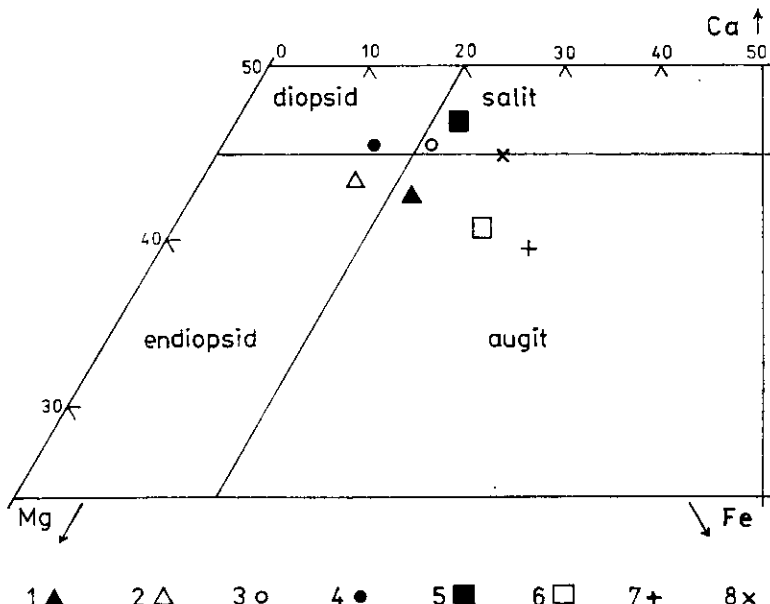
Krystalochémické vzorce pyroxenu na základě 6 O

	AMPY-1	AMPY-2	AMPY-3	AMPY-4	AMPY-5	AMPY-6	AMPY-7	AMPY-8
Si	1,98	1,96	2,04	2,00	1,94	1,98	1,99	1,98
Al ^{IV}	0,02	0,04	—	—	0,04	0,02	0,01	0,02
Al ^{VI}	0,07	0,07	0,03	0,07	—	0,06	0,06	0,06
Ti	0,001	0,004	—	0,001	0,003	0,005	0,01	0,01
Fe	0,20	0,16	0,19	0,12	0,21	0,28	0,33	0,18
Mn	0,01	0,01	0,01	0,01	0,01	0,02	0,02	0,01
Mg	0,87	0,91	0,82	0,87	0,86	0,83	0,79	0,86
Ca	0,81	0,83	0,85	0,84	0,96	0,76	0,75	0,86
Na	0,01	0,02	0,02	0,05	0,02	0,03	0,03	0,01
K	0,001	0,003	—	0,003	—	—	0,01	—
Fe	11,11	8,42	10,69	7,07	11,08	14,97	18,52	15,95
Mg	46,03	47,89	43,85	47,28	42,16	44,39	41,80	45,03
Ca	42,86	43,68	45,45	45,65	47,06	40,64	39,68	45,03

bylo též analyzováno pomocí elektronového mikroanalyzátoru (tab. 5). Bazitita plagioklasů se pohybuje v širokém rozmezí. U středu plagioklasů kolísá od An₅₅ do An₈₅, okraje se vyznačují bazicitou od An₄₀ do An₆₀. Plagioklasy uzavřené v amfibolech dosahují bazicity až An₉₀. Jádra plagioklasu bývají postižena sericitizací různého stupně.

D r a s e l n ý ž i v e c

Draselný živec tvoří xenomorfní výplně mezi ostatními minerály. Jeho množství se pohybuje od 2,90 % v biotit-amfibolickém gabru (typ „e“) do 20 %



6. Výřez z klasifikačního diagramu monoklinických pyroxenů (A. Poldervaart a H. H. Hesse 1951 in W. A. Deer et al. 1974)
- 1 — pyroxen z velmi hrubé porfyrického melanizonzonitu s pyroxenem; 2 — pyroxen z hrubé porfyrického pyroxen-biotit-amfibolického melanizonzonitu; 3 — pyroxen z hrubé porfyrického pyroxen-biotit-amfibolického melanizonzonitu; 4 — pyroxen z hrubé porfyrického biotit-pyroxen-amfibolického melanizonzonitu; 5 — pyroxen ze středně zrnitého pyroxen-biotit-amfibolického melanizonzabra; 6 — pyroxen z biotit-pyroxen-amfibolického melanizonzabra středně zrnitého; 7 — pyroxen z droboznrného pyroxen-biotit-amfibolického melanizonzabra; 8 — pyroxen z droboznrného biotit-pyroxen-amfibolického melanizonzabra

v kvaremonzonitu. Draselný živec je nepertitický. Tmavé minerály (pyroxen, amfibol), obklopené draselným živecem, projevují automorfní omezení. Podle pozice ve struktuře horniny patří draselné živce k nejmladším minerálům v hornině.

Akcesorické minerály

Apatit. — Jeho množství je velmi proměnlivé. Největší je v hrubě porfyrickém melanizonzonitu, kde podle modální analýzy dosahuje 3,5 %. V porfyrických varietách tvoří jednak sloupečkovité až jehlicovité krystaly délky kolem 1 mm, jednak automorfní izometrické průřezy. Někdy jsou krystaly porušeny a rozlámány.

Titanit je přítomen ve všech studovaných výbrusech. Vyskytuje se v podobě nepravidelných zrn od velikosti 0,05–0,1 mm. Někdy vytváří nepravidelná laločnatá zrna o velikosti až 2 mm.

Zirkon je rovněž přítomen ve všech studovaných výbrusech. Jeho množství

Tabuľka 5

Složení plagioklasů z hornin lučkovické oblasti

	AMPL-1	AMPL-2	AMPL-3	AMPL-4	AMPL-5
SiO ₂	59,59	62,24	50,78	54,00	57,18
TiO ₂	0,02	0,02	—	0,06	—
Al ₂ O ₃	25,09	24,45	34,00	30,03	27,86
FeO	0,09	0,04	0,34	0,22	0,15
CaO	8,23	5,73	14,27	11,22	8,38
Na ₂ O	5,94	7,74	2,02	4,46	4,76
K ₂ O	0,49	0,10	0,06	0,24	0,13
Σ	99,16	100,35	101,46	100,18	98,51

Krystalochémické vzorce plagioklasů na základě 32 O

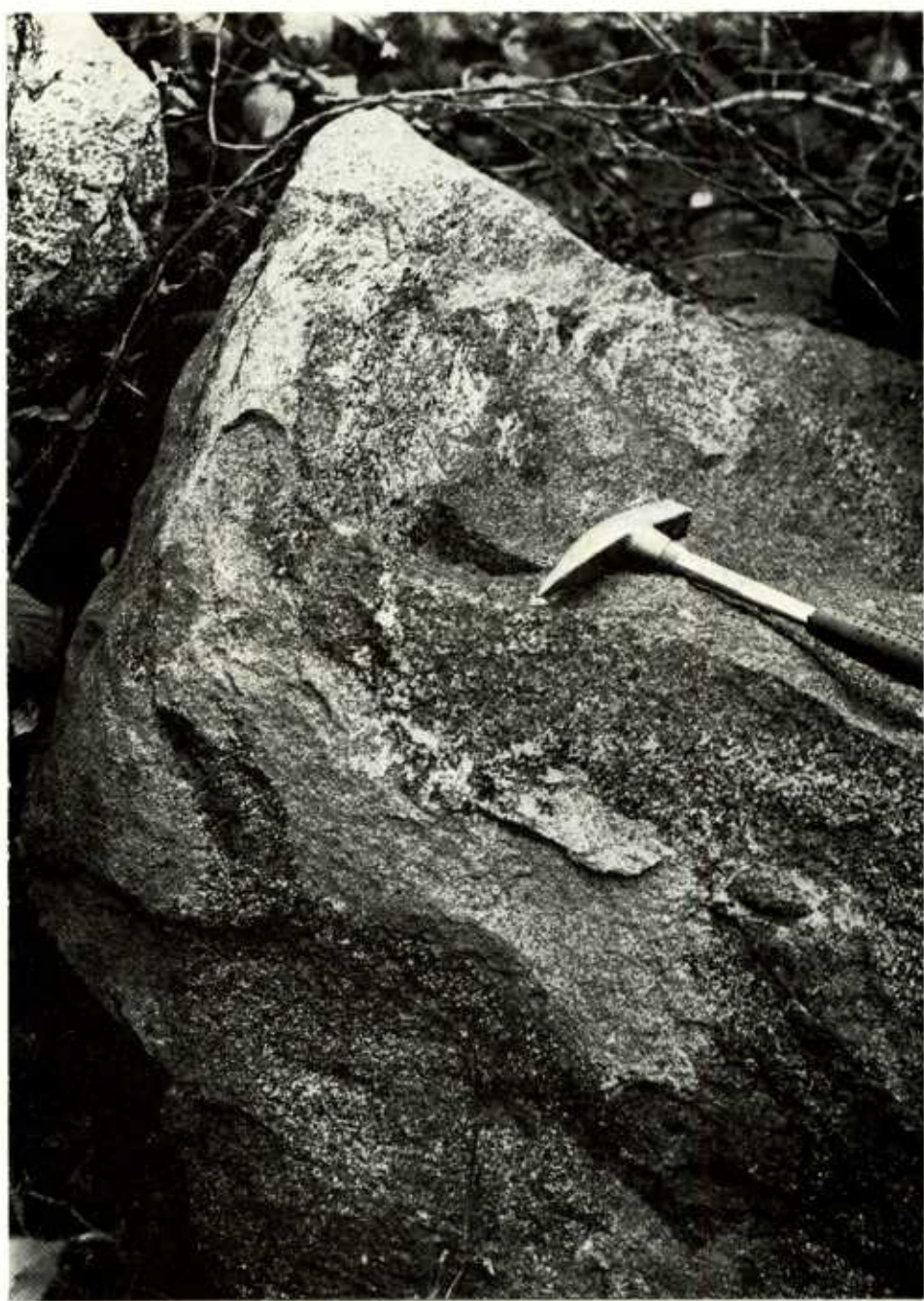
	AMPL-1	AMPL-2	AMPL-3	AMPL-4	AMPL-5
Si	10,69	10,98	9,07	9,75	10,31
Al	5,31	5,06	7,16	6,37	5,92
Ti	0,01	—	—	0,02	—
Fe	0,01	—	0,05	0,03	0,07
Ca	1,58	1,05	2,73	2,16	1,62
Na	2,06	2,67	0,69	1,55	1,66
K	0,04	—	0,01	0,05	0,03
Ab	56,0	71,8	20,1	41,2	50,2
An	42,9	28,3	79,6	57,5	48,9
Or	1,1	—	0,3	1,3	0,9

je velmi nepatrné. Tvoří nepravidelná zrňka, většinou uzavíraná v amfibolech. Vzácněji bývá omezen automorfně.

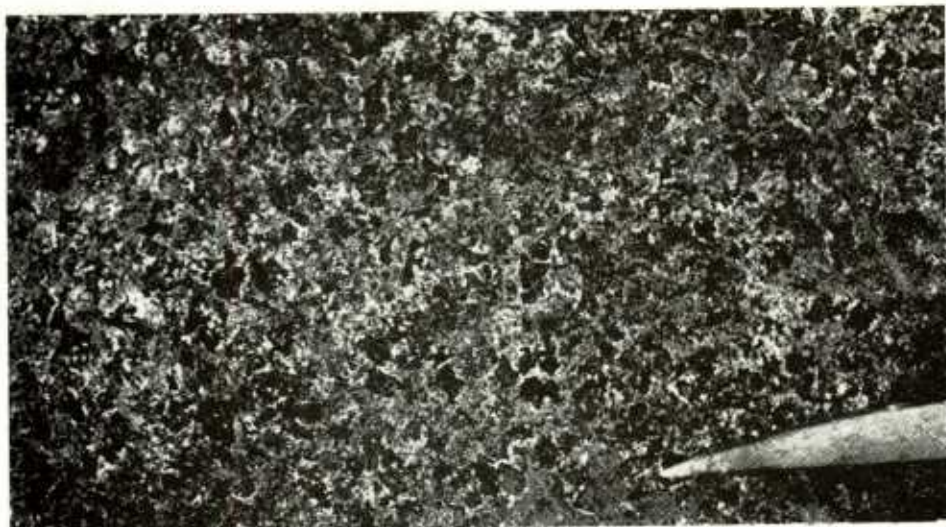
Rudní minerály. — Z oxidických je přítomen magnetit; ze sulfidických byl zastižen pyrit a pyrhotin.

Sekundární minerály

Ze sekundárních minerálů se vyskytuje světle žlutozelený epidot, který tvoří nepravidelná zrna o velikosti 0,1–0,5 mm, nebo žilky v biotitu. Dalším sekundárním minerálem je prehnit, který tvoří rovněž nepravidelná zrna o velikosti 0,1 mm nebo téměř bezbarvé čočkovité útvary na plochách štěpnosti biotitu. Vzácnější je modrozelený pumpellyit(?), který bývá rovněž svázán s biotitem.



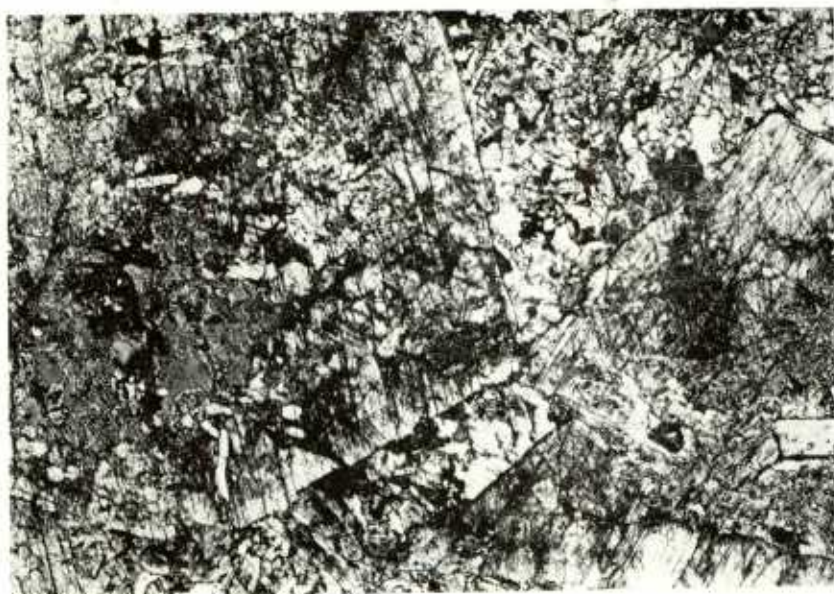
1. Stejnosměrně drobně zrnitě biotit-amfibol-pyroxenické melamonzogabro a středně zrnitě pyroxen-biotit-amfibolické melamonzogabro. V horní části je patrné pegmatoidní nahromadění lžíšťovitého biotitu (vel. 4 cm). Lučkovický lom



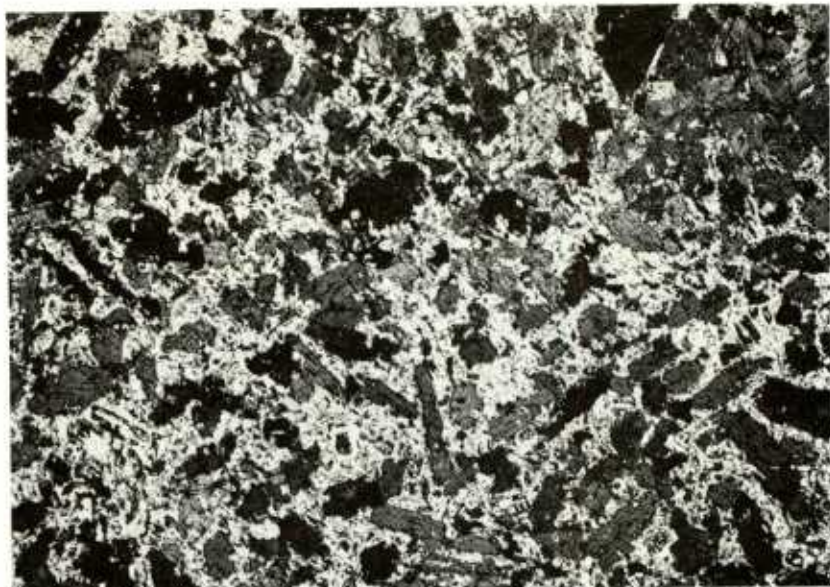
1. Makroskopický vzhled hrubě porfyrického pyroxen-biotit-amfibolického melamonzonitu ve výchozu asi 150 m zjz. od lučkovického lomu



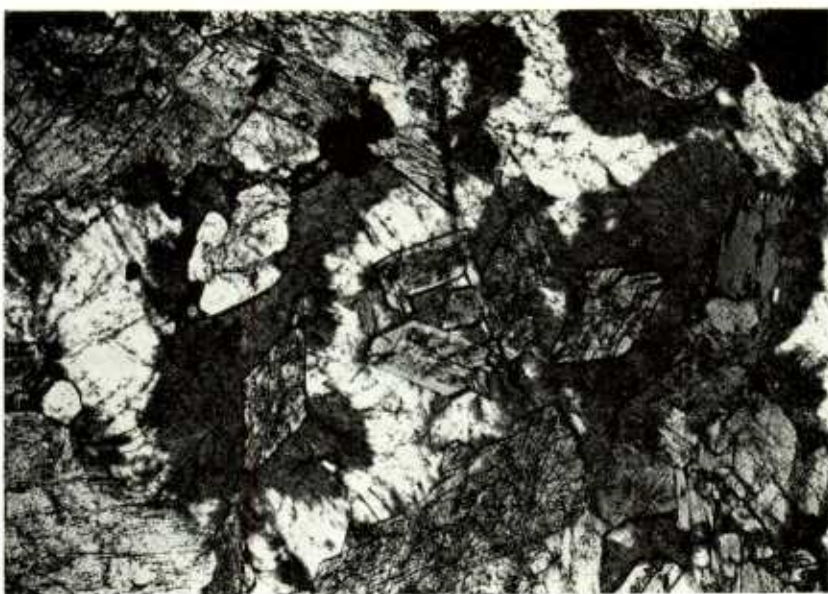
2. Biotit-amfibolické gabro s jehlicovitým vývojem amfibolu (ve středu vzorku) a středně zrnité pyroxen-biotit-amfibolické melamonzogabro



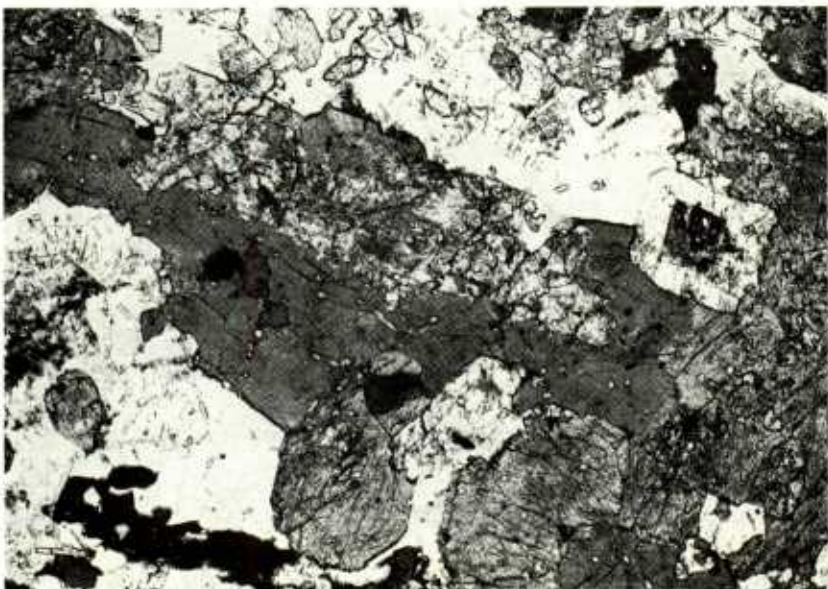
1. Velmi hrubě porfyrický biotit-amfibolický melanizonit s pyroxenem. Vrostlice amfibolu jsou částečně biotitizovány. Zvětšeno 5×, bez analyzátoru



2. Biotit-amfibolické gabro. Dlouze sloupcovitý a jehlicovitý vývoj amfibolu. Zvětšeno 5×, bez analyzátoru



1. Automorfne a hypautomorfne omezeny amfibol (uprostred snimku), obklopeny castecne rozlozennym plagioklasem a draselnym zivcem. Velmi hrubec porfyricky biotit-amfibolický melamonzonit s pyroxenem. Zvetseno 24X, bez analyzatoru

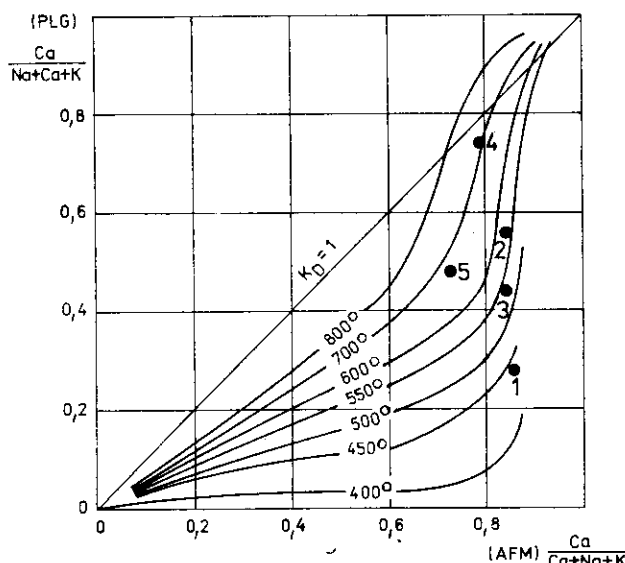


2. Relikt monoklinického pyroxenu v protáhlém, nepravidelně omezeném zrnu amfibolu. Zvetseno 24X, bez analyzatoru

Vsechny fotografie F. Holub

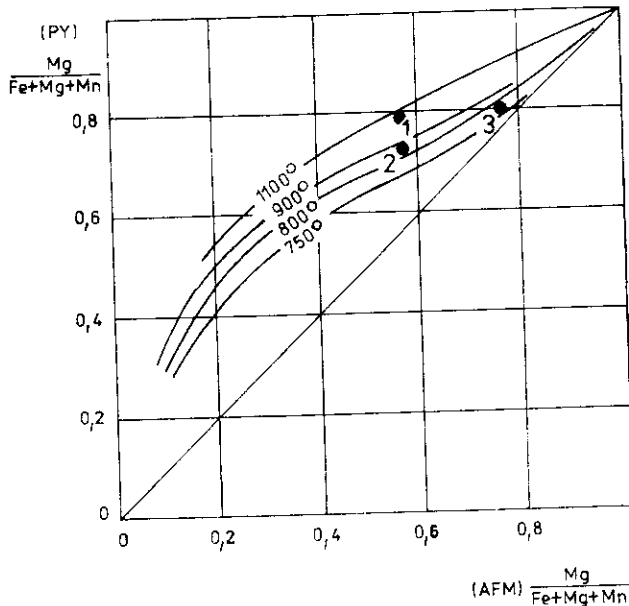
Koexistence vybraných minerálů

Na základě distribuce prvků ve vybraných koexistujících minerálech byl ve studovaných horninách učiněn pokus o stanovení teploty ekvilibrace těchto minerálů. Bylo při tom použito metodiky a diagramů sestavených Perčukem (1970), u nás používaných řadou autorů, přičemž dvojice byly voleny tak, aby ve všech byl jedním z minerálů některý z amfibolů (obr. 7, 8).



7. Distribuce hodnot $\text{Na}/(\text{Ca}+\text{Na}+\text{K})$ mezi koexistujícími páry amfibol-plagioklas v závislosti na teplotě. Podle L. L. Perčuka (1970)
- 1 — průmětný bod páru aktinolit—oligoklas z hrubého porfyrického melanomonzonitu; 2 — průmětný bod páru obecný aktinolitický amfibol—andesín z hrubého porfyrického melanomonzonitu; 3 — průmětný bod páru tschermakitický obecný amfibol—labradorit ze středně zrnitého melanomzogabra; 4 — průmětný bod páru tschermakitický obecný amfibol—bytownit z drobnozrnitého melanomzogabra; 5 — průmětný bod páru obecný amfibol—bazický andesín z biotit-amfibolického gabra s jehlicovitým vývojem amfibolu

Použití této metody je komplikováno skutečností, že koexistující vztahy mezi použitými dvojicemi nejsou úplně jasné, nicméně vykazují výsledky, jaké zjistil např. Fiala *in* Palivcová et al. (1975) v horninách středočeského plutonu, od ortomagmatických teplot pro pyroxeny a tschermakitické amfiboly, rádově kolem 1000 °C, přes pozdně magmatické teploty kolem 700–500 °C pro obecný amfibol—andesín, až po teploty na hranici magmatického a hydrotermálně postmagmatického procesu o hodnotách kolem 400 °C pro aktinolit a oligoklas. Všechny tyto hodnoty je nutno považovat za orientační a bylo by nutné upřesnit je širším výzkumem.



8. Distribuce hodnot $Mg/(Mg+Fe+Mn)$ mezi koexistující pyroxen a amfibol v závislosti na teplotě. Podle L. L. Perčuka (1970)

1 — průmětný bod páru pyroxen (augit)—jádro tschermakitického obecného amfibolu

z drobnozrnitého biotit-amfibol-pyroxenického melamonzogabra; 2 — průmětný bod páru pyroxen (salit)—jádro tschermakitického obecného amfibolu ze středně zrnitého pyroxen-biotit-amfibolického melamonzogabra; 3 — průmětný bod páru aktinolitický obecný amfibol—pyroxen z hrubé porfyrického pyroxen-biotit-amfibolického melamonzonitu

T a b u l k a 6
Chemické analýzy hornin

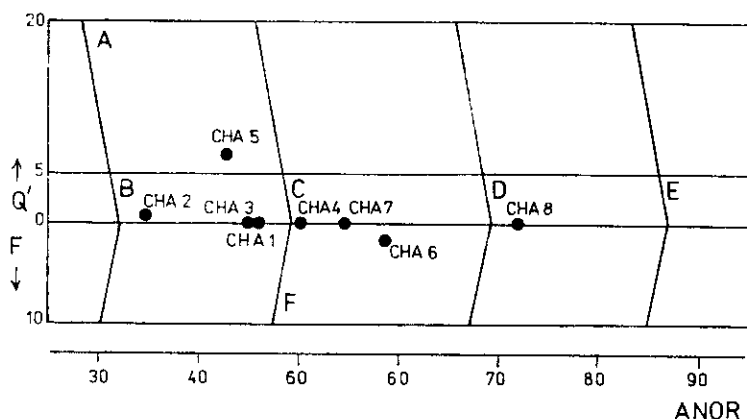
	CHA-1	CHA-2	CHA-3	CHA-4	CHA-5	CHA-6	CHA-7	CHA-8
SiO ₂	50,32	53,50	50,12	49,54	56,85	46,63	47,11	47,21
TiO ₂	0,77	0,86	1,10	1,14	0,84	1,26	1,37	1,04
Al ₂ O ₃	10,05	9,34	12,55	14,37	15,76	15,44	14,33	19,57
Fe ₂ O ₃	3,01	2,46	2,53	2,85	2,43	3,22	3,33	4,16
FeO	6,66	4,69	6,62	7,00	4,62	6,80	7,62	6,28
MnO	0,48	0,16	0,18	0,20	0,16	0,21	0,22	0,13
MgO	13,81	12,22	8,67	8,25	4,30	7,82	8,22	4,82
CaO	8,99	10,12	9,78	8,96	6,71	10,76	10,81	9,24
Na ₂ O	1,22	1,17	1,57	1,69	2,80	1,88	1,65	2,91
K ₂ O	2,77	3,34	3,48	3,57	4,11	2,97	3,16	2,22
H ₂ O ⁺	1,22	1,01	1,37	1,24	1,01	1,20	1,77	1,35
H ₂ O ⁻	0,14	0,09	0,12	0,04	0,03	0,09	0,06	0,03
P ₂ O ₅	0,58	0,53	1,02	0,88	0,56	1,05	1,34	1,23
CO ₂	0,00	0,21	0,15	0,18	0,03	0,31	0,06	0,28
Σ	98,72	99,74	99,26	99,91	100,21	99,64	101,05	100,43

Petrochemie

V rámci studia petrochemických vlastností zkoumaných hornin bylo chemicky analyzováno osm vzorků. Výsledky těchto analýz jsou uvedeny v tabulce 6. Ze všech analýz byly vypočteny petrochemické parametry na počítači Hewlett-Packard v laboratoři výpočetní techniky při přírodovědecké fakultě Karlovy univerzity, pomocí výpočetního programu, který sestavil F. Fedíuk a J. Kedršt. Některé z těchto parametrů jsou komentovány v textu kapitoly, případně jsou na jejich základě sestaveny příslušné diagramy. Již pohled na nepřepočtené výsledky chemických analýz ukazuje na základní zvláštnosti studovaných hornin. Jsou jimi: relativně vysoký podíl alkalií, zvláště K_2O , které, kromě analýzy číslo CHA-8, je v převaze nad Na_2O , dále značně vysoké podíly MgO a P_2O_5 .

Postavení hornin z lučkovické oblasti v některých systémech založených na chemické klasifikaci

Postavení hornin z lučkovické oblasti v diagramu chemické klasifikace vyvřelých hornin podle Streckeisen a Le Maîtrea (1980) (obr. 9) je shodné s postavením těchto hornin v diagramu založeném na modálním složení. Pouze analýza CHA-6 výše uvedené klasifikace padá do pole monzogabra s foidy. Při modální analýze nebyl nefelín ve výbruse zjištěn.



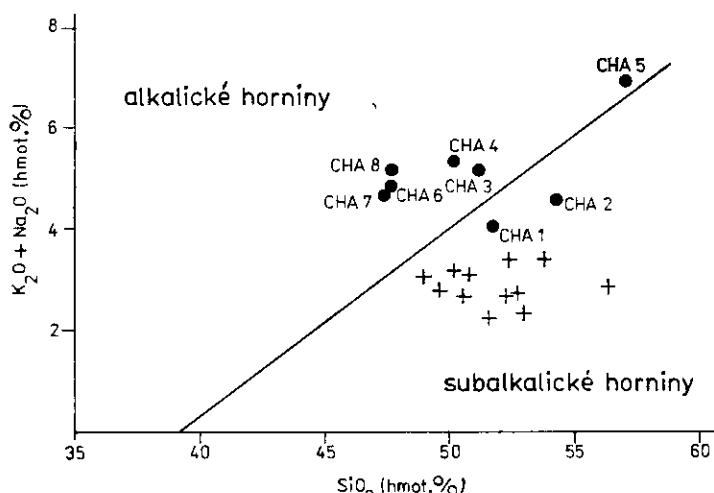
9. Diagram chemické klasifikace vyvřelých hornin podle A. Streckeisena a R. W. Le Maîtrea (1973)
Pole: A — kvaremonzonit; B — monzonit; C — monzdiorit, monzogabro; D, E — diorit, gabro, anortosit; F — monzdiorit s foidy, monzogabro s foidy

T a b u l k a 7

Normativní složení hornin z lučkovické oblasti v hodnotách C.I.P.W.

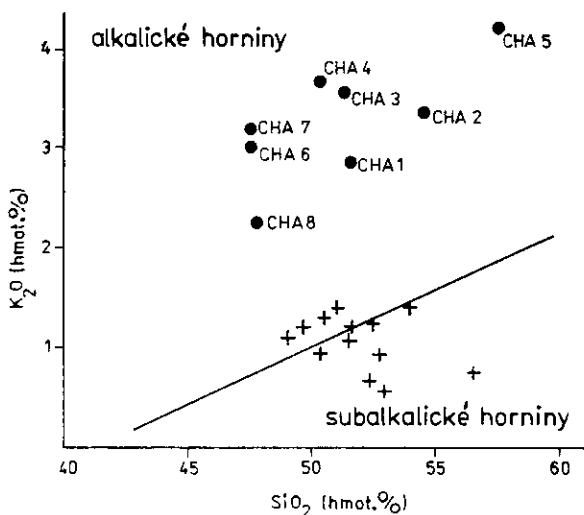
	CHA-1	CHA-2	CHA-3	CHA-4	CHA-5	CHA-6	CHA-7	CHA-8
křemen	—	0,84	—	—	5,67	—	—	—
ortoklas	16,81	20,05	21,07	21,43	24,50	17,90	18,83	13,29
albit	10,60	10,06	13,61	14,52	23,90	13,76	14,08	29,46
anortit	14,14	10,53	17,33	21,41	18,45	25,42	22,55	34,19
nefelin	—	—	—	—	—	4,34	—	—
diopsid	22,04	29,26	20,55	14,44	9,26	17,75	18,34	3,33
hypersten	21,60	22,73	14,22	11,14	11,75	—	0,76	2,96
olivín	7,44	—	4,90	8,60	—	14,16	14,82	10,36
magnetit	4,48	3,62	3,76	4,20	3,55	4,76	4,87	6,10
ilmenit	1,50	1,66	2,14	2,20	1,61	2,44	2,62	2,00
apatit	1,38	1,25	2,42	2,07	1,31	2,48	3,13	2,88

Kolísání chemismu studovaných hornin dobře vynikne v hodnotách C.I.P.W. Horniny se vyznačují vysokým obsahem normativního draselného živce. Poměrně vyšší obsahy normativního apatitu ve studovaných horninách jsou ve shodě s modálním složením. Pro srovnání byly na hodnoty C.I.P.W. přepočteny chemické analýzy hornin z peceradského lomu. Tyto horniny se liší od hornin z lučkovické oblasti vyššími obsahy normativního křemene, značně nižším obsahem normativního draselného živce a normativního apatitu.



10. Diagram pro rozlišení alkalických hornin od subalkalických podle G. A. MacDonalda - T. Katsury (1964)
 Plný kroužek — projekční body analyzovaných hornin z lučkovické oblasti; křížek — projekční body hornin bazického peceradského tělesa (M. Palivcová et al. 1975)

Pro zařazení hornin k některé z hlavních vyvřelinových sérií byl použit diagram SiO_2 k sumě alkálií. Do diagramu byly též zaneseny horniny z peceraďského lomu (obr. 10). Většina projekčních bodů hornin z lučkovické oblasti spadá do alkalického pole. Do subalkalického pole spadají analýzy CHA-1, CHA-2. Alkalickou tendenci se horniny lučkovické oblasti liší od hornin z peceraďského lomu, které spadají v tomto diagramu do subalkalického pole. Ještě výrazněji se alkalická tendence projevuje v diagramu $\text{K}_2\text{O}/\text{SiO}_2$ (obr. 11), kde do alkalického pole spadají všechny projekční body hornin z lučkovické oblasti a posun nad dělící čárou je ještě výraznější než v diagramu 10.



11. Diagram pro rozlišení alkalických hornin od subalkalických. Podle D. Ninkoviche - D. J. Hayse (1972). (Symboly jsou stejné jako u obr. 10)

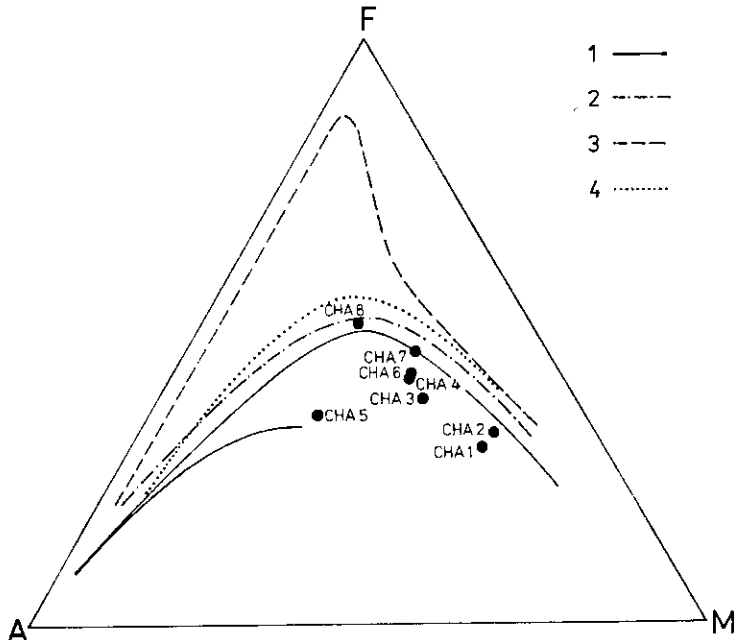
V diagramu AFM jsou projekční body rozptýleny kolem trendové křivky bazik středočeského plutonu; body CHA-1, CHA-2, CHA-3 se blíží syenitovému trendu středočeského plutonu.

Petrogenetické závěry

Názory na vznik gabroidních hornin ve středočeském plutonu lze rozdělit do dvou skupin.

1) Vznik bazických hornin rekrystalizací staršího, částečně alterovaného vulkanického a subvulkanického materiálu, zřejmě působením okolních granitických hornin plutonu. K tomuto závěru dospěli Hanuš a Palivcová (1971) na základě studia ocellárních struktur.

2) Vznik magmatickou krystalizací. Orllov (1938) předpokládá difereniaci magmatu od bazického ke kyselému, ale izolované ostrůvky gabra na Milnsku nepovažuje za samostatné, nýbrž za nedokonalé produkty štěpení. Stein o-



12. Chemismus hornin z lučkovické oblasti v AFM diagramu (hmot. %)
 1 — trend hornin středočeského plutonu podle Z. Vejnara (1973);
 2 — trend havajský alkalický podle G. A. MacDonalda - T. Katsury (1964); 3 — trend skaergaardské intruze; 4 — rozhraní mezi tholeiitovým polem (nahoře) a polem alkalicko-vápenatým (dole)

chler (1963) považuje gabra a horniny sázavského typu za produkty krystallizace a diferenciace jediného společného magmatu, složením shodného s nejbažitějším členem sázavského typu. Podle Vejnara (1973) horniny středočeského plutonu postrádají znaky ukazující na nerušenou krystalizaci z homogenních tavenin. Příčinu tohoto jevu vysvětluje integrací dvou časově oddělených petrogenetických fází. Horniny první předvariské fáze se přibližují trendu poběžovického bazického masívu. Mají reliktní charakter. Bazické horniny jsou zřetelně rekryystalovány, případně kontaminovány salickým materiélem. Zdrojem hornin 1. fáze je podle Vejnara (l.c.) magma tholeiitového charakteru, odvozené z vyšších částí pláště. Horniny druhé fáze mají plutonický charakter. Trend odpovídá mladší variské petrogenetické fázi plutonu, provázené granitizací a syntexí. Horniny druhé fáze odvozuje Vejnara (1973) od palingenního magmatu zemské kůry, které inklinuje k žulovému eutektiku.

Studium hornin lučkovické oblasti přineslo tyto poznatky. Horniny, i když zaujmají poměrně malé území, projevují značnou strukturní variabilitu a pestrost v modálním složení. Na základě výsledků modálních analýz lze studované horniny zařadit do skupiny melamonzonitu, melakvaremonzonitu, melamonzogabra a gabra. Ve strukturách nebyly zjištěny žádné relikty, které by podporovaly vulkanický původ těchto hornin.

Vzhledově jsou vulkanické horniny lučkovické oblasti blízké horninám peceradského bazického tělesa, ale výrazně se od nich odlišují chemismem. hlavně poměrně vysokým obsahem alkalií, z nichž K₂O převažuje nad Na₂O, vysokým obsahem MgO, který mnohdy převažuje nad FeO a CaO a zvýšeným obsahem P₂O₅.

Studiem amfibolů bylo zjištěno, že amfibol je zastoupen od aktinolitu přes Mg-obecný amfibol až po tschermakit. *Leake in Lang et al.* (1978) statistickým výzkumem chemismu amfibolů dokazuje, že primárně magmatické amfiboly nemohou obsahovat více než 7,5 atomových jednotek Si. Na základě po-měru (Ca+Na+K)/Si dochází k závěru, že primární amfiboly z gabera a příbuzných hornin nemohou obsahovat více než 7,0 atomových jednotek Si. Tyto údaje svědčí pro druhotný vznik aktinolitického amfibolu v postmagmatických sladičích vývoje horniny. Podle údajů B. E. Leaka lze tedy považovat za primárně magmatické Mg-obecný amfibol, obecný tschermakitický amfibol a tschermakit ze středně a drobně zrnitého melamonzogabra a biotit-amfibolického gabra. Aktinolit a aktinolitický obecný amfibol z hrubě porfyrického melamonzonitu je spíše výsledkem postmagmatického vývoje horniny. V souladu s tím jsou i výsledky termometrie na základě distribuce prvků v koexistujících minerálech, které byly probrány v kapitole „Horninotvorné minerály“.

Závěrem lze o horninách lučkovické oblasti říci, že výše uvedené skutečnosti svědčí ve prospěch předpokladu magmatické krystalizace těchto hornin, přičemž vývoj horniny byl dovršen v postmagmatickém stadiu. Na základě chemismu lze pro tyto horniny lučkovické oblasti vyslovit předpoklad, že jsou výsledkem krystalizace z magmatu lamproidního charakteru, a že v tomto ohledu představují v rámci bazik středočeského plutonu specifický vývojový typ.

K tisku doporučil F. Fediuk

L iteratura

- Deer W. A. - Howie R. A. - Zussman J. (1974): An introduction to the rock-forming minerals. 1—528 Longman group Ltd. London.
- Fiala J. - Vejnar Z. (1976): Composition of the biotites and coexisting biotite-hornblende pairs in granitic rocks of the Central Bohemian pluton. — Krystalinikum, 12, 79—111. Praha.
- Foster M. (1960): Interpretation of the composition of trioctahedral micas. — Geol. Surv. profess. Pap., 354-B, 11—49. Washington.
- Hanuš V. - Palivcová M. (1971): Ocellar texture of Pecerady gabbro in the Central Bohemian Pluton. — Acta Univ. Carol., Geol., 3, 175—187. Praha.
- Knotek M. (1977): Regionálně petrografický přehled hlubinných hornin řady gabro—diorit v Českém masivu. — MS Geol. ústav ČSAV. Praha.
- Lang M. - Cimbálníková A. - Kašpar P. - Palivcová M. - Pivec E. - Ulrych J. (1978): Horniny teletínských lomů. Petrografie intruzívного kontaktu tonalitu u Teletína. — Studie ČSAV, 3, 1—110. Academia. Praha.
- Leake B. E. (1978): Nomenclature of amphibolites. — Mineral. petrogr. Acta, 22, 195—224. Bologna.

- Orlov A. (1933): Problémy středočeského plutonu. — Věda přír., 16, 43—48. Praha.
- Palivcová M. - Fiala J. - Knotek M. - Lang M. - Minářík L. - Pivec E. - Ulrych J. (1975): Peceradské gabro — příklad tělesa appinitické série ve středočeském plutonu. — Academia. Praha.
- Perčuk L. L. (1970): Ravnovesija porodoobrazujuščich mineralov. — Nauka. Moskva.
- Steinacher V. (1969): Látkové složení, provinciální charakter a petrogenese středočeského plutonu. — Rozpr. Čs. Akad. Věd, R. mat. přír. Věd, 79, 1, 1—99. Praha.
- Streckeisen A. (1976): Classification and nomenclature of plutonic rocks. Recommendation. — Neu. Jb. Mineral., Mh. 4, 149—164. Stuttgart.
- Streckeisen A. - Le Maître R. W. (1979): A chemical approximation to the igneous rocks. — Neu Jb. Mineral., Abh., 136, 169—206. Stuttgart.
- Svoboda J. et al. (1966): Regional geology of Czechoslovakia. — Part I, The Bohemian Massif. — Ústř. úst. geol. Praha.
- Urban K. (1933): Několik poznámek ke geologii území mezi Pískem a Březnicí. — Věst. St. geol. Úst. Čs. Republ., 9, 65. Praha.
- Vejnar Z. (1973): Petrochemistry of the Central Bohemian Pluton. — Geochem. Methods and Data, 2. Praha.
- Waldhaurová J. - Žežulková V. (1974): Komentář k přehledné geologické mapě listu M-33-88-D-d (Sedlice). — MS Geofond. Praha.
- Žežulková V. et al. (1978): Vysvětlivky k listu mapy Mirovice. — MS Ústř. úst. geol. Praha.

Gabbroids in the Mirovice metamorphic islet

(Summary of the Czech text)

Vlasta Ledvinková

Received January 3, 1983

Gabbroids in the southern part of the Mirovice metamorphic islet are a part of the Central Bohemian Pluton. They form inclusions, fragments, and small bodies within the granitoids of the Sázava type. The gabbroids are in particular situated west of Mirovice in the surroundings of Lučkovice. The largest gabbroid body, 350×150 m in size, is elongated parallel with the foliation of the Mirovice orthogneiss. The gabbroids studied are black-grey rocks of plutonic appearance and directionless structure. The texture is hypautomorphic-granular, often with a porphyritic development of the hornblende. The rocks are characterized by a widely varying grain-size ranging from coarse porphyritic to fine-grained. The composition is also variable. On the basis of modal analyses it fluctuates, according to the IUGS classification (1973), from pyroxene-biotite-hornblende melanomonzonite to pyroxene-bearing biotite-hornblende melanomonzogabbro and to biotite-hornblende gabbro with needle-like hornblende.

Hornblende is the main mineral in all the structural types. According to the classification of Leake (1978), all the amphiboles belong to the group of calcic amphiboles. The amphiboles from coarse to very coarse porphyritic melanomonzonite fall into the field of Mg-common hornblende, actinolitic hornblende, and actinolite. The amphiboles from medium-grained and fine-grained melanomonzogabbro and gabbro with needle-like development of the hornblende fall into the field of Mg-common hornblende, tschermakitic common hornblende, and tschermakite. Biotite is the second most abundant mafite. In the four-component diagram calculated for eastonite, phlogopite, siderophyllite, and annite, the projection points of biotite are concentrated roughly in the belt between phlogopite and siderophyllite, which is moderately shifted from the trend line of common magmatic rocks towards the apex of eastonite. The amount of monoclinic pyroxene in the individual types fluctuates considerably, obviously in relation to the variable degree of amphibole replacement. The diagram of Polderwaart and Hess was used for the classification of the pyroxenes. In this diagram, the projection points of the pyroxenes are dispersed in the field of augite, salite, diopside, and endiopside. The plagioclase forms euhedral and

subhedral grains. The composition of plagioclase fluctuates from An₅₀ to An₈₅ in the cores and from An₃₅ to An₆₀ in the rims. The gabbroids from the Lučkovice area are characterized by a relatively high potassium feldspar content (5–20 %) at a relatively high rock basicity. Moreover, these rocks also have a characteristically high apatite content (as much as 3.5 % as indicated by modal analysis). Sphene, zircon, and allanite occur as accessories. The ore minerals are represented by ilmenite, pyrite, pyrrhotite, and magnetite. The secondary minerals include epidote, prehnite, exceptionally pumpellyite.

Eight samples were analyzed for major element. The main petrochemical peculiarities of the rocks studied include the relatively high proportion of alkalis, in particular K₂O which predominates over Na₂O, and the appreciably high MgO and P₂O₅ content.

The results of the study of basic rocks in the Mirovice area indicate their origin by magmatic crystallization which was modified in the postmagmatic phase. The chemical composition of the rocks suggests that they crystallized from a magma of a lamproitic character and thus represent a specific type among the basic rocks of the Central Bohemian Pluton.

Přeložila E. Česánská

Explanation of tables

Table 1. Modal composition of rocks from the area studied.

Table 2. Composition of amphiboles from the Lučkovice area.

Crystalliochemical formulas of amphibole recalculated on the basis of 23 O.

Table 3. Composition of biotites from the Lučkovice area.

Crystalliochemical formulas of biotite recalculated on the basis of 22 O.

Table 4. Composition of pyroxenes from rocks of the Lučkovice area.

Crystalliochemical formulas of pyroxene recalculated on the basis of 6 O.

Table 5. Composition of plagioclases from rocks of the Lučkovice area.

Crystalliochemical formulas of plagioclases recalculated on the basis of 32 O.

Table 6. Chemical analyses of rocks.

Table 7. Normative composition of rocks from the Lučkovice area (in C.I.P.W. values).

Explanation of text-figures

1. Location of the area studied in the wider geological setting.

1 — Moldanubium; 2 — Proterozoic and Palaeozoic of the Barrandian; 3 — Jílové zone; 4 — metamorphic islets; nn — Netvořice-Neveklov, sk — Sedlčany-Krásná Hora, mi — Mirovice, hu — Hudějice, ks — Kasejovice, kš — Kašovice; 5 — granitoids of the Central Bohemian Pluton: ok — peripheral, ně — Něčín type, sá — Sázava and Kozárovice types, tě — Těchovice type, se — Sedlčany type, čb — Čertovo břemeno type, bl — Blatná type, če — Červená type, ko — Kozlov type, kl — Klatovy type; č — gabbroids. After O. Kodym jun. (in J. Svoboda et al. 1966); 7 — area studied.

2. Position of rocks from the Lučkovice area according to the modal composition in the IUGG classification (1973). A segment from the classification diagram.
Fields: 8 — monzonite; 8+ — quartz monzonite; 9 — monzdiorite, monzogabbro; 10 — gabbro, diorite, anorthosite.
3. Classification diagram of Ca-amphiboles (after B. E. Leak 1978).
1 — Rim; 2 — core of hornblende from very coarsely porphyritic biotite-hornblende melamonzonite with pyroxene; 3 — rim; 4 — core of hornblende from coarsely porphyritic, medium-grained pyroxene-biotite-hornblende melamonzogabbro; 5 — rim; 6 — core of hornblende from fine-grained biotite-pyroxene-hornblende melamonzogabbro; 7 — rim; 8 — core from biotite-hornblende gabbro with needle-like hornblende.
4. Relation between main octahedral (Mg, Fe) and tetrahedral (Si, Al) components in biotites of the rocks from the Lučkovice area.
1 — Biotite from biotite-hornblende gabbro; 2 — biotite from fine-grained pyroxene-biotite-hornblende melamonzogabbro; 3 — biotite from fine-grained biotite-hornblende-pyroxene melamonzogabbro; 4 — biotite from medium-grained pyroxene-biotite-hornblende melamonzogabbro; 5 — biotite from medium-grained biotite pyroxene-hornblende melamonzogabbro; 6 — biotite from coarsely porphyritic pyroxene-biotite-hornblende melamonzonite; 7 — biotite from very coarsely porphyritic biotite-hornblende melamonzonite with pyroxene.
5. Ternary diagram of octahedral cations in biotite. Modified after M. Foster (1960).
(For key to symbols see fig. 4).
6. Segment from the classification diagram of monoclinic pyroxenes. After A. Poldervaart and H. H. Hess (1951) in W. A. Deer et al. (1974).
1 — Pyroxene from very coarsely porphyritic melamonzonite with pyroxens; 2 — pyroxene from coarsely porphyritic pyroxene-biotite-hornblende melamonzonite; 3 — pyroxene from coarsely porphyritic pyroxene-biotite-hornblende melamonzonite; 4 — pyroxene from coarsely porphyritic biotite-pyroxene-hornblende melamonzonite; 5 — pyroxene from medium-grained pyroxene-biotite-hornblende melamonzogabbro; 6 — pyroxene from medium-grained biotite-pyroxene-hornblende melamonzogabbro; 7 — pyroxene from fine-grained pyroxene-biotite-hornblende melamonzogabbro; 8 — pyroxene from fine-grained biotite-pyroxene-hornblende melamonzogabbro.
7. Distribution of $\text{Na}/(\text{Ca}+\text{Na}+\text{K})$ values between coexisting pairs amphibole-plagioclase in relation to temperature. After L. L. Perchuk (1970).
1 — Plot of the pair actinolite-oligoclase from coarsely porphyritic melamonzonite; 2 — plot of the pair common actinolite hornblende-andesine from coarsely porphyritic melamonzonite; 3 — plot of the pair tschermakite common hornblende-labradorite from medium-grained melamonzogabbro; 4 — plot of the pair tschermakite common hornblende-bytownite from fine-grained melamonzogabbro; 5 — plot of the pair common hornblende-basic andesine from biotite-hornblende gabbro with needle-like development of hornblende.
8. Distribution of $\text{Mg}/(\text{Mg} + \text{Fe} + \text{Mn})$ values between coexisting pyroxene and hornblende in relation to temperature. After L. L. Perchuk (1970).
1 — Plot of the pair pyroxene (augite) — core of tschermakite common hornblende from fine-grained biotite-hornblende-pyroxene melamonzogabbro; 2 — plot of the pair pyroxene (salite) — core of tschermakite common hornblende from medium-grained pyroxene-biotite-hornblende melamonzogabbro; 3 — plot of the pair actinolite common hornblende-pyroxene from coarsely porphyritic pyroxene-biotite-hornblende melamonzonite.

9. Diagram of chemical classification of igneous rocks. After A. Streckeisen and R. W. Le Maître (1973).
Fields: A — quartz monzonite; B — monzonite; C — monzodiorite, monzogabbro; D, E — diorite, gabbro, anorthosite; F — monzodiorite with foids, monzogabbro with foids.
10. Diagram distinguishing alkalic from subalkalic rocks. After G. A. MacDonald - T. Katsura (1964).
Solid circle — plots of analyzed rocks from the Lučkovice area; *cross* — plots of rocks from the Pecerady basic body (M. Palivcová et al. 1975).
11. Diagram distinguishing alkalic from subalkalic rocks. After D. Ninkovich - D. J. Hays (1972). (For key to symbols see fig. 10).
12. Chemical composition of rocks from the Lučkovice area in the AFM diagram (mass %).
1 — Trend of rocks from the Central Bohemian Pluton. After Z. Vejnar (1973); 2 — Hawaiian alkalic trend. After G. A. MacDonald - T. Katsura (1964); 3 — trend of the Skaergaard intrusion; 4 — boundary between the tholeiite field (top) and the calc-alkalic field (bottom).

Explanation of plates

Pl. I

1. Uniformly fine-grained biotite-hornblende-pyroxene melanonzogabbro and medium-grained pyroxene-biotite-hornblende melanonzogabbro. Pegmatoid clustering of lath-shaped biotite (size 4 cm) is observable in the upper part. Lučkovice Quarry. Photo F. Holub

Pl. II

1. Macroscopic appearance of coarsely porphyritic pyroxene-biotite-hornblende melanonzonite in the outcrop about 150 m WSW of the Lučkovice Quarry.
2. Biotite-hornblende gabbro with needle-like development of hornblende (in the middle of the sample) and medium-grained pyroxene-biotite hornblende melanonzogabbro.

Photo F. Holub

Pl. III

1. Very coarsely porphyritic biotite-amphibole melanonzonite with pyroxene. Phenocrysts of hornblende are partly biotitized. $\times 5$, without analyzer.
2. Biotite-hornblende gabbro. Long-columnar and needle-like development of hornblende. $\times 5$, without analyzer.

Photo F. Holub

Pl. IV

1. Bounded automorphic and hypautomorphic hornblende (in the middle of the picture) surrounded by partly decomposed plagioclase and potassium feldspar. Very coarsely porphyritic biotite-hornblende melanonzonite with pyroxene. $\times 24$, without analyzer.
2. Relict of monoclinic pyroxene in elongated, irregularly bounded hornblende grain. $\times 24$, without analyzer.

Photo F. Holub

Габброиды в Мировицком метаморфизованном «острове»

Глубинные магматические породы основного состава в более широких окрестностях с. Миротице являются составной частью Среднечешского plutона, расположенной внутри гранитоидов сазавского типа. В минералогическом отношении они харак-

теризуются относительно высокими долями калиевого полевого шпата и биотита, а в химическом — высокой долей K_2O , преобладающего, несмотря на относительно высокую основность горной породы, над Na_2O , и высокими долями MgO и P_2O_5 . По этим признакам они близки породам лампроидного характера. По положению в классификационной системе магматических пород речь идет, главным образом, о меламонционите, меламонцогаббро и габбро.

Přeložil A. Kříž